

VII Escola Jayme Tiomno  
Universidade de São Paulo, Instituto de Física

## Mecânica Clássica sob a perspectiva da Geometria Diferencial

Clarice Netto  
cnetto@ime.usp.br

### Carga horária:

10h (5 aulas com 2h de duração cada).

### Descrição

Este curso oferece uma introdução às estruturas geométricas que fundamentam a mecânica clássica, com ênfase nas formulações lagrangeana e hamiltoniana e em suas generalizações. Serão abordados temas como variedades simpléticas, estruturas de Poisson e Dirac, bem como a relação entre simetrias e leis de conservação por meio do teorema de Noether. O curso busca equilibrar motivação física e ferramentas oriundas da geometria diferencial moderna, sendo acessível a estudantes de graduação interessados em física-matemática, matemática aplicada ou geometria diferencial.

### Objetivos

- ▷ Compreender como as estruturas geométricas, como formas simpléticas e variedades de Poisson, estão intrinsecamente relacionadas à mecânica clássica.
- ▷ Apresentar o teorema de Noether em uma linguagem geométrica.
- ▷ Discutir exemplos concretos de sistemas físicos com simetrias e vínculos não triviais usando ferramentas da geometria diferencial.

### Pré-requisitos

Recomenda-se que os participantes possuam familiaridade com mecânica clássica, cálculo diferencial e álgebra linear. Não é necessário conhecimento prévio de geometria diferencial ou variedades, pois tais conceitos serão introduzidos ao longo do curso.

### Programa do curso

- ▷ **Aula 1- Motivação e exemplos.**  
Formalismos Lagrangeano e Hamiltoniano para sistemas mecânicos. ✓ Transformada de

Legendre como mudança de perspectiva. Exemplos: O corpo rígido, partícula livre, bola Chaplygin, entre outros.

▷ **Aula 2- Noções fundamentais de geometria diferencial.**

Breve introdução à variedades. Campos vetoriais, formas diferenciais e operações básicas (pullback, contração, diferencial). Fluxos e integrais de movimento.

▷ **Aula 3- Geometria simplética e estruturas de Poisson.**

Definições básicas. Equações de Hamilton como fluxo hamiltoniano. Redução por simetrias. Grandezas conservadas e o teorema de Noether.

▷ **Aula 4- Estruturas de Dirac e sistemas com vínculos.**

Generalização da estrutura simplética: pares admissíveis e distribuição característica. Aplicações a sistemas com vínculos.

▷ **Aula 5- Geometria e integrabilidade.**

Revisita-se os exemplos da primeira aula, agora descrevendo tais sistemas mecânicos com a linguagem geométrica abordada nas aulas anteriores. Propõe-se soluções geométricas.

## Referências

- [1] L. Bates, J. Sniatycki. *Nonholonomic reduction* Rep. Math. Phys. Vol 32(1) (1993), 99-115.
- [2] A. Cannas da Silva, *Lectures on Symplectic Geometry*, Springer, 2001.
- [3] J.-P. Dufour and N. T. Zung, *Poisson Structures and Their Normal Forms*, Progress in Mathematics, Vol. 242, Birkhäuser, 2005.
- [4] D. D. Holm, *Geometric Mechanics, Part I: Dynamics and Symmetry*, 2nd ed., Imperial College Press, 2011.
- [5] J. E. Marsden and T. Ratiu, *Introduction to Mechanics and Symmetry*, 2nd ed., Springer, 1999.

# Mecânica Clássica sob a perspectiva da Geometria Diferencial

## Aula 1: Motivação e exemplos

sistemas hamiltonianos descrevem a evolução de sistemas mecânicos de natureza conservativa. As equações que descrevem tais sistemas são chamadas equações de Hamilton e podem ser derivadas diretamente da segunda lei de Newton.

Vamos considerar como ilustração o exemplo do movimento de uma partícula de massa  $m > 0$  em  $\mathbb{R}^3$  submetida a um campo de forças conservativo  $F$ , dado em cada ponto  $q = (q_1, q_2, q_3) \in \mathbb{R}^3$  por

↳ espaço de configuração

$$F(q) = -\nabla V(q)$$

onde,  $V: \mathbb{R}^3 \rightarrow \mathbb{R}$  é a energia potencial. Dado estado inicial, determinado por uma posição e velocidade, determina completamente a trajetória  $q(t)$  da partícula através da 2ª Lei de Newton:

$$m\ddot{q}(t) = -\nabla V(q(t)). \quad (1)$$

Se considerarmos  $p = m\dot{q}$  (o momento linear da partícula) podemos reescrever o sistema de 3 equações de segunda ordem (1) como 6 equações de primeira ordem nas variáveis  $p_i$  e  $q_i$ :

$$\dot{q} = \frac{p}{m}, \quad \dot{p} = -\nabla V$$

O espaço  $\mathbb{R}^3 = \{q = (q_1, q_2, q_3)\}$  de possíveis posições da partícula é chamado espaço de configurações, enquanto o espaço  $\mathbb{R}^6 = \mathbb{R}^3 \times \mathbb{R}^3 = \{(q, p)\}$ , consistindo de posições e momentos, é chamado espaço de fase.

Denotando a energia total da partícula por  $H$ ,

$$H(p, q) = \sum_{i=1}^3 \frac{p_i^2}{2m} + V(q),$$

podemos escrever (1) no espaço de fase como

$$(2) \begin{cases} \dot{q}_i = \frac{1}{m} p_i = \frac{\partial H}{\partial p_i} \\ \dot{p}_i = m \frac{d^2 q_i}{dt^2} = -\frac{\partial V}{\partial q_i} = -\frac{\partial H}{\partial q_i} \end{cases}$$

As equações (2) são as equações de Hamilton.

Temos então  $2^\circ$  Lei de Newton em  $\mathbb{R}^3 \iff$  Equações de Hamilton em  $\mathbb{R}^6$

## ① Princípio Variacional

Outra maneira de se obter as equações de Hamilton é via as equações de Euler-Lagrange, derivadas do princípio variacional. Essa abordagem além de revelar a natureza variacional de sistemas naturais, é bastante útil quando consideramos sistemas com vínculos.

Um princípio que rege a mecânica clássica é o princípio da ação mínima. Mais precisamente, considere um sistema cujo espaço de configurações é  $\mathbb{R}^n$ , com coordenadas  $q = (q_1, \dots, q_n)$ , de modo que o espaço dos estados (i.e., posições e velocidades) seja  $\mathbb{R}^{2n}$ , com coordenadas  $(q, v)$ . Seja  $L: \mathbb{R}^{2n} \rightarrow \mathbb{R}$  uma função suave, chamada função lagrangiana. Dada uma curva diferenciável  $\gamma: [0, T] \rightarrow \mathbb{R}^n$ , definiremos sua ação por

$$A_L(\gamma) = \int_0^T L(\gamma(t), \dot{\gamma}(t)) dt$$

Fixe agora dois pontos  $q_0, q_1$  em  $\mathbb{R}^n$  e denote por  $C([0, T], q_0, q_1)$  o conjunto das curvas suaves  $\gamma: [0, T] \rightarrow \mathbb{R}^n$  tais que  $\gamma(0) = q_0$  e  $\gamma(T) = q_1$ .

Buscamos neste conjunto pontos críticos para o funcional de ação  $A_L$ , ou seja, curvas para as quais  $\left. \frac{dA_L(\gamma)}{ds} \right|_{s=0} = 0$

onde  $\Gamma_s \in C([0, T], q_0, q_1)$ ,  $s \in (-\varepsilon, \varepsilon)$  é uma variação suave arbitrária de curvas tal que  $\Gamma_0 = \gamma$ .

CLAIM (ou Proposição) Uma curva  $\gamma$  é um ponto crítico de  $A_L$  se e somente se satisfaz a equação de Euler-Lagrange.

Prova. Sejam  $\gamma_i: [0, T] \rightarrow \mathbb{R}$   $i=1, \dots, n$  funções suaves tais que  $\gamma_i(0) = \gamma_i(T) = 0$   $\forall i$ . Defina a variação  $\Gamma_\varepsilon(t) = (\gamma_1(t) + \varepsilon c_1(t), \dots, \gamma_n(t) + \varepsilon c_n(t))$  onde  $\gamma(t) = (\gamma_1(t), \dots, \gamma_n(t))$ . É claro que  $\Gamma_\varepsilon \in C([0, T], q_0, q_1)$ .

Se  $\gamma$  minimiza  $A$ , então:

Temos que:

Regra de Leibniz

$$\left. \frac{dA_L(\epsilon)}{d\epsilon} \right|_{\epsilon=0} = \int_0^T \sum_i \left[ \frac{\partial L}{\partial q_i} (x_0^{(t)}, \dot{x}_0^{(t)}) \dot{q}_i(t) + \frac{\partial L}{\partial v_i} (x_0^{(t)}, \dot{x}_0^{(t)}) \ddot{q}_i(t) \right] dt$$

$$= \int_0^T \sum_i \left[ \frac{\partial L}{\partial q_i} (x_0, \dot{x}_0) \dot{q}_i(t) - \frac{d}{dt} \frac{\partial L}{\partial v_i} (x_0, \dot{x}_0) \dot{q}_i(t) + \frac{\partial L}{\partial v_i} (x_0, \dot{x}_0) \dot{q}_i(t) \right] dt$$

$$= \int_0^T \sum_i \left( \frac{\partial L}{\partial q_i} (x_0, \dot{x}_0) - \frac{d}{dt} \frac{\partial L}{\partial v_i} (x_0, \dot{x}_0) \right) \dot{q}_i(t) dt = 0$$

Equações de Euler-Lagrange

$$\int_a^b u dv = [uv]_a^b - \int_a^b v du$$

Onde a segunda igualdade segue por integração por partes. Como isto é válido para todo  $q_i$  tal que  $q_i(0) = q_i(T) = 0$ , concluímos a demonstração.

Obs: Diferentes funções lagrangianas correspondem a diferentes sistemas físicos, e a evolução de cada sistema é descrita pelas soluções das equações de Euler-Lagrange associadas.

Vamos agora, como uma mudança de variáveis pode transformar as equações de Euler-Lagrange nas equações de Hamilton. Considere a aplicação  $FL: \mathbb{R}^{2n} \rightarrow \mathbb{R}^{2n}$ , dada por:

$$FL(q_1, \dots, q_n, v_1, \dots, v_n) = (q_1, \dots, q_n, \frac{\partial L}{\partial v_1}(q, v), \dots, \frac{\partial L}{\partial v_n}(q, v))$$

chamada transformada de Legendre associada a  $L$ .

Supondo que  $FL$  seja um difeomorfismo, obtemos novas coordenadas

$(q, p)$  em  $\mathbb{R}^{2n}$ , onde  $p = \frac{\partial L}{\partial v}$  é chamado momento generalizado.

Definimos a hamiltoniana associada a  $L$  como

$$H(p, q) = \sum_{i=1}^n p_i v_i - L(q, v)$$

Temos então que:

$$\frac{\partial H}{\partial q_i} = \sum_{j=1}^n p_j \frac{\partial v_j}{\partial q_i} - \frac{\partial L}{\partial q_i} - \sum_{j=1}^n \frac{\partial L}{\partial v_j} \frac{\partial v_j}{\partial q_i} = - \frac{\partial L}{\partial q_i}$$

$$\frac{\partial H}{\partial p_i} = v_i + \sum_{j=1}^n p_j \frac{\partial v_j}{\partial p_i} - \frac{\partial L}{\partial v_j} \frac{\partial v_j}{\partial p_i} = v_i$$

Consequentemente, as equações de Euler Lagrange são equivalentes às

equações de Hamilton  $\frac{dq_i}{dt} = \frac{\partial H}{\partial p_i}$  e  $\frac{dp_i}{dt} = - \frac{\partial H}{\partial q_i}$ .

Exemplo: Em  $\mathbb{R}^6$ , a lagrangiana  $L(q, \dot{q}) = \frac{m}{2} \sum_{i=1}^3 \dot{q}_i^2 - V(q)$ . Se aplicarmos a transformada de Legendre nos leva ao hamiltoniano

$$H(p, q) = \sum_{i=1}^3 \frac{1}{2m} p_i^2 + V(q)$$

ou seja, a mesma que vimos anteriormente.

## ② Geometrização das equações de Hamilton

Vimos que as equações de Hamilton podem ser derivadas das equações de Newton e da Euler-Lagrange. Agora, colocaremos as equações de Hamilton num contexto geométrico através de uma formulação intrínseca. Isto nos permitirá definir sistemas hamiltonianos em variedades diferenciáveis.

Considere o espaço de fase  $\mathbb{R}^{2n}$ , com coordenadas  $(q_1, \dots, q_n, p_1, \dots, p_n)$ .

A escolha de qualquer função  $H \in C^\infty(\mathbb{R}^{2n})$  determina um campo hamiltoniano.

$$X_H := -J_0 \nabla H = \sum_{i=1}^n \frac{\partial H}{\partial p_i} \frac{\partial}{\partial q_i} - \frac{\partial H}{\partial q_i} \frac{\partial}{\partial p_i} \quad (3)$$

onde  $J_0$  é a matriz  $2n \times 2n$  dada por  $J_0 = \begin{pmatrix} 0 & -I \\ I & 0 \end{pmatrix}$   $I = id_{\mathbb{R}^n}$

A função  $H$  é chamada de hamiltoniana, e as equações de Hamilton (2) assumem a forma  $\boxed{\dot{c}(t) = X_H(c(t))}$  <sup>(4)</sup>, onde  $c(t) = (q_1(t), \dots, q_n(t), p_1(t), \dots, p_n(t))$

Note que  $H$  é sempre preservado ao longo das soluções de (4):

$$\frac{d}{dt} H(c(t)) = \nabla H(c(t)) \dot{c}(t) = -\nabla H(c(t)) \cdot J_0 \nabla H(c(t)) = 0$$

Esta propriedade (junto a outras que vimos, mais tarde) dá ao formalismo hamiltoniano seu caráter conservativo.

Note que na definição de  $X_H$  em (3) usamos dois invariantes: uma base de  $\mathbb{R}^{2n}$  (com respeito a qual calculamos o gradiente  $\nabla H$ ) e a matriz  $J_0$ . Estes dois invariantes combinados definem uma forma bilinear anti-simétrica não degenerada dada por

$$\mathcal{L}_0(u, v) = -u^t \mathcal{L}_0 v$$

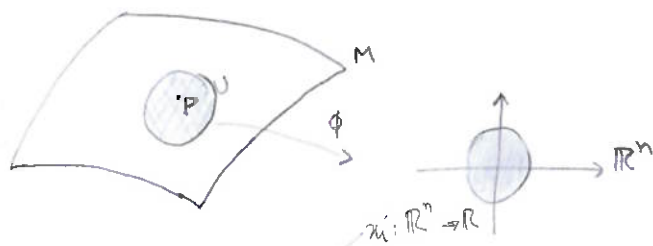
(3)

ou, equivalentemente,  $\mathcal{L}_0 = \sum_i q_i \frac{\partial}{\partial q_i} + p_i \frac{\partial}{\partial p_i}$ . A equação de Hamilton pode ser então vista como o "gradiente" de  $H$  com respeito a  $\mathcal{L}_0$ , ou seja,  $X_H$  é o único campo que satisfaz a equação  $\mathcal{L}_0(X_H, v) = dH(v) \quad \forall v \in \mathbb{R}^n$ .

## AULA 2

### ③ Variedades Diferenciáveis

Def Um espaço localmente euclidiano de dimensão  $d$  é um espaço topológico  $M$  em que cada ponto  $p \in M$  possui uma vizinhança  $U \subset M$  homeomorfa a um aberto de  $\mathbb{R}^n$ .



\* Topologia: Uma coleção  $\mathcal{T} \subset M$  chamadas de abertos em  $M$  se  $\emptyset, X \subset \mathcal{T}$ , uniões de abertos é aberto e interseção finita de abertos é aberto.  
Hausdorff: se  $x \neq y \in M$ ,  $\exists V, U$  se  $U \cap V = \emptyset$   
 $\mathbb{R}^n$  contínuo: base contínua

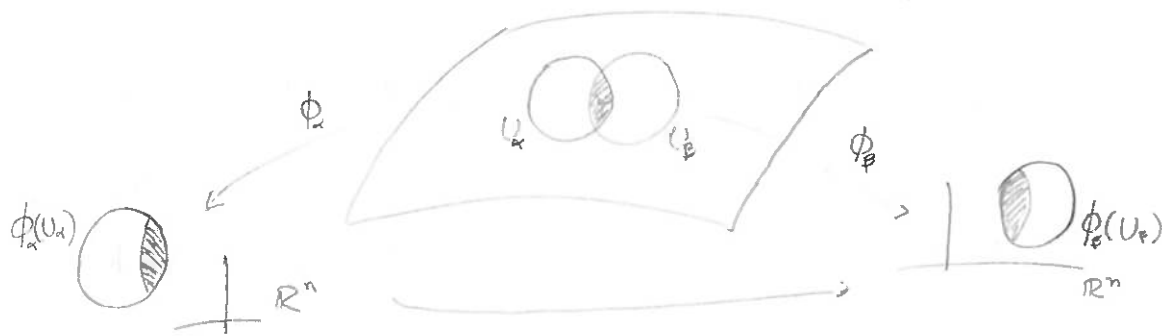
Um homeomorfismo  $\phi: U \rightarrow \mathbb{R}^n$  chamamos um sistema de coordenadas ou cartas. As funções  $\phi^i = \xi^i \circ \phi$  chamamos funções coordenadas, e designamos este sistema de coordenadas por  $(U, \phi)$ .  
Um sistema de coordenadas  $(U, \phi)$  diz-se centrado num ponto  $p \in M$  se  $\phi(p) = 0$ .

Def: Uma estrutura diferenciável de classe  $C^k$  ( $1 \leq k \leq \infty$ ) num espaço localmente euclidiano  $M$  de dim  $n$ , é uma coleção de sistema de coordenadas

$\mathcal{C} = \{(U_\alpha, \phi_\alpha) \mid \alpha \in A\}$  que satisfaz as seguintes propriedades:

- $\{U_\alpha \mid \alpha \in A\}$  é uma cobertura aberta de  $M$ , i.e.  $\bigcup_{\alpha \in A} U_\alpha = M$
- As funções de transição  $\phi_\alpha \circ \phi_\beta^{-1}$  são de classe  $C^k$  para quaisquer  $\alpha, \beta \in A$ .
- A coleção  $\mathcal{C}$  é maximal: se  $(U, \phi)$  é um sistema de coordenadas com a propriedade de que  $\phi \circ \phi_\alpha^{-1}$  e  $\phi_\alpha \circ \phi^{-1}$  são de classe  $C^k$  para todo  $\alpha \in A$ , então  $(U, \phi) \in \mathcal{C}$ .

A um par  $(M, \mathcal{C})$  chamamos uma variedade diferenciável de dimensão  $n$ .



Exemplos: ①  $(\mathbb{R}^n, id)$ , o espaço euclidiano com o sistema de coordenadas  $(\mathbb{R}^n, id)$ ,  $id: \mathbb{R}^n \rightarrow \mathbb{R}^n$  é a aplicação identidade.

② Esferas  $n$ -dimensional:  $S^n = \{x \in \mathbb{R}^{n+1} \mid \sum_{i=1}^{n+1} (x_i)^2 = 1\}$

A esq.  $S^n \subset \mathbb{R}^{n+1}$  com a topologia relativa é um espaço localmente euclidiano

contas = projeções estereográficas por  $N = (0, \dots, 1)$  e  $S = (0, \dots, -1)$ .

$$\varphi_N: S^n \setminus \{N\} \rightarrow \mathbb{R}^n \quad \varphi_N(x_0, \dots, x_n) = \left( \frac{x_0}{1-x_n}, \dots, \frac{x_{n-1}}{1-x_n} \right) \quad \varphi_S \circ \varphi_N^{-1}(u) = \frac{u}{|u|^2}$$

$$\varphi_S: S^n \setminus \{S\} \rightarrow \mathbb{R}^n \quad \varphi_S(x_0, \dots, x_n) = \left( \frac{x_0}{1+x_n}, \dots, \frac{x_{n-1}}{1+x_n} \right)$$

③ Espaço projetivo:  $\mathbb{P}^n = \{L \subset \mathbb{R}^{n+1} \mid L \text{ é uma reta que passa pelo } \text{origem}\}$

Podemos identificar  $\mathbb{P}^n$  com o quociente  $\mathbb{R}^{n+1} \setminus \{0\} / \sim$ , onde  $\sim$  é a relação

de equivalência:  $(x_1, \dots, x_n) \sim (y_1, \dots, y_n) \iff (x_1, \dots, x_n) = \lambda (y_1, \dots, y_n) \quad \begin{matrix} \lambda \in \mathbb{R} \\ \lambda \neq 0 \end{matrix}$

$\mathbb{P}^n$  tem topologia quociente

localmente euclidiano. Seja  $[x_0: \dots: x_n]$  a classe de equiv. de  $(x_1, \dots, x_n) \in \mathbb{R}^{n+1}$ ,

para cada  $\alpha = 0, \dots, n$  temos um sistema de coordenadas  $(U_\alpha, \phi_\alpha)$  onde

$$U_\alpha = \{[x_0: \dots: x_n] \mid x_\alpha \neq 0\}$$

$$\phi_\alpha: U_\alpha \rightarrow \mathbb{R}^n \mid [x_1, \dots, x_n] \mapsto \left( \frac{x_0}{x_\alpha}, \dots, \frac{x_{\alpha-1}}{x_\alpha}, \dots, \frac{x_{\alpha+1}}{x_\alpha}, \dots, \frac{x_n}{x_\alpha} \right)$$

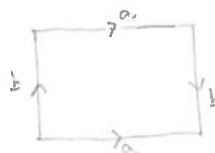
④ Outros exemplos:

$$\text{Toro} = S^1 \times S^1$$

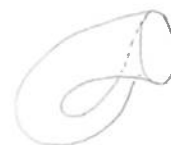


variedade de dim 2 (Toro  $n$ -dim =  $(S^1)^n$ )

Gráfico de Klein



$$\Rightarrow \text{[rectangle with arrows]} \Rightarrow$$



dim 2



A faixa de Moebius



9

• Grupos de Lie ( $G$  grupo e variedade do mesmo tempo)

• Grupo linear. qual.  $GL_n(\mathbb{R}) = \{A \in M_{nn}(\mathbb{R}) \mid \det A \neq 0\}$

$$GL_n(\mathbb{R}) \xrightarrow{\quad} \mathbb{R}^{n^2}$$

$$A = (A_{ij}) \mapsto (A_{11}, \dots, A_{nn}, A_{12}, \dots, A_{21}, \dots, A_{1n}, \dots, A_{n1}, \dots, A_{2n}, \dots, A_{n2}) \text{ carta p/ } GL_n(\mathbb{R})$$

↳ Subgrupos de  $GL_n(\mathbb{R})$  :  $O(n) = \{A \in GL_n(\mathbb{R}) \mid A \cdot A^T = I\}$  ortogonal.

$SO(n) = \{A \in O(n) \mid \det(A) = 1\}$  ortogonal especial

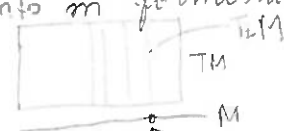
$Sp_n(\mathbb{R}) = \{A \in GL_{2n}(\mathbb{R}) \mid A^T J A = J\}$  simplético

$$J = \begin{pmatrix} 0 & -I_n \\ I_n & 0 \end{pmatrix}$$

#### 4) Vetores tangentes

Dois curvas  $\gamma_1(t)$  e  $\gamma_2(t)$  numa var.  $M$  são equivalentes em  $m$  se  $\gamma_1(0) = \gamma_2(0) = m$  e  $(\varphi \circ \gamma_1)'(0) = (\varphi \circ \gamma_2)'(0)$  para alguma carta  $\varphi$ . (Esta def não depende de cartas).

Def: Um vetor tangente  $v$  a  $M$  no ponto  $m \in M$  é uma classe de equivalência de curvas  $[\gamma]$ . O conjunto dos vetores tangentes a  $M$  num. ponto  $m$  formam o espaço tangente  $T_m M$ . (Note que  $T_p M \cong \mathbb{R}^n$ )



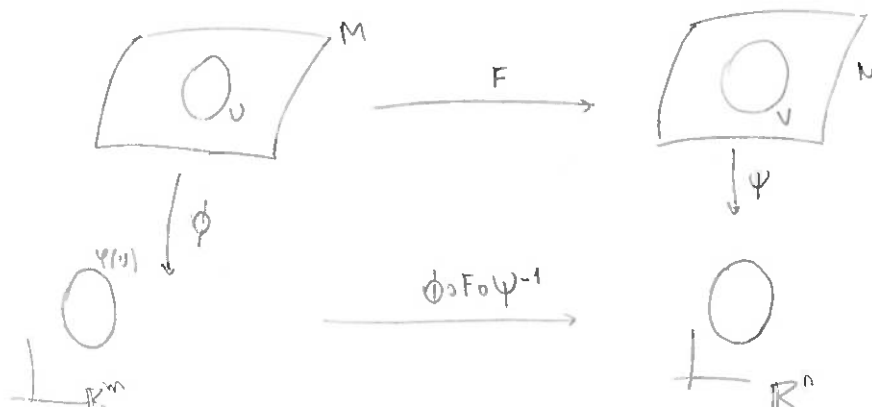
Obs: Fibrado tangente  $TM = \bigcup_{m \in M} T_p M$  é uma variedade de dim  $2n$ , que possui um mapa  $TM \rightarrow M$  dada pela projeção. (Podemos pensar em  $TM$  como um conjunto de fibras ( $T_p M$ ) sobre pontos em  $M$ , ou seja, sobre variedades).

Considerando um sistema de coordenadas  $(U, \varphi) = (U, x_1, \dots, x_n)$  em  $P \in M$ .

Temos uma base canônica de  $T_p M$  induzida por  $\varphi$  :  $\left. \frac{\partial}{\partial x_1} \right|_p, \dots, \left. \frac{\partial}{\partial x_n} \right|_p \in T_p M$

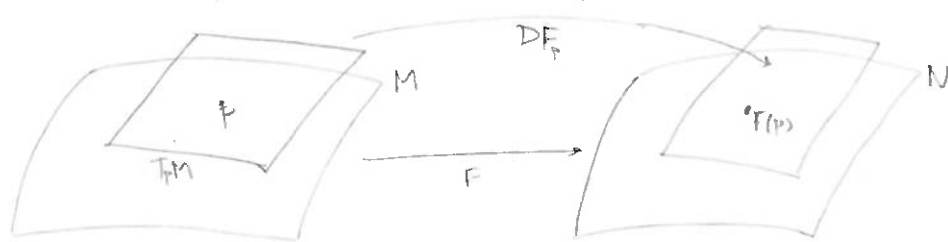
Para falar de campos vetoriais, precisamos falar de aplicações diferenciáveis.

Def: Sejam  $M, N$  variedades. Uma aplicação  $F: M \rightarrow N$  é diferenciável se  $\varphi \circ F \circ \psi^{-1}$  é de classe  $C^\infty$ , para todos sistemas de coordenadas  $(U, \phi)$  de  $M$  e  $(V, \psi)$  de  $N$ .



Podemos definir o diferencial de  $F$  no ponto  $p$  como

$$(dF)_p : T_p M \longrightarrow T_{F(p)} N$$



Def: Um campo vetorial  $X$  numa variedade  $M$  é uma mapa  $X: M \rightarrow TM$  que associa um vetor  $X(m)$  no ponto  $m \in M$ , isto é,  $\pi_m \circ X = \text{Id}$ .

Notação:  $X(M)$

Em coordenadas:  $X|_U = \sum_{i=1}^n X^i \frac{\partial}{\partial x^i}$ , onde  $X^i: U \rightarrow \mathbb{R}$  são as componentes do campo vetorial.

Podemos definir uma nova função  $X(f): M \rightarrow \mathbb{R}$  por  $X(f)(p) = X_p(f)$

Note que  $X(f)|_U = \sum_{i=1}^n X^i \frac{\partial f}{\partial x^i} \in C^\infty(U)$

Além disto,  $(dF_p)X = Y_{F(p)} \in X(N)$

Def: ① Um caminho suave  $\gamma: I \rightarrow M$  diz-se uma curva integral de  $X$  se  $\dot{\gamma}(t) = X_{\gamma(t)} \quad \forall t \in I$ .

② O fluxo de  $X$  é a coleção de mapas  $\varphi_t: D_t \rightarrow M$  tal que  $t \mapsto \varphi_t(m) = \dot{c}(t)$  onde  $c(t)$  é a curva integral de  $X$  que satisfaz  $c(0) = m$ .

$D_t = \{m \in M \mid \exists t \in (a, b)\}$

O fluxo satisfaz  $\varphi_0 \circ \varphi_t = \varphi_{s+t}$

Exemplos: ① em  $\mathbb{R}^2$  podemos considerar o campo vetorial  $X = \frac{\partial}{\partial x}$ ,  $Y = \frac{\partial}{\partial y}$

$$E = x \cdot \frac{\partial}{\partial x} + y \cdot \frac{\partial}{\partial y}$$

$$\textcircled{2} \text{ Em } S^1: X = -y \frac{\partial}{\partial x} + x \frac{\partial}{\partial y}$$

$$\textcircled{3} \text{ Em } \mathcal{H}: X = x X_- + \dot{y} \frac{\partial}{\partial y} + \dot{p}_x \frac{\partial}{\partial p_x} + \dot{p}_y \frac{\partial}{\partial p_y}$$

$$\mathcal{H} = \{(x, y, p_x, p_y) \mid p_x = \frac{y}{1+y^2} p_y\}$$

$$\text{onde } \begin{cases} X_1 = \frac{\partial}{\partial x} + y \frac{\partial}{\partial y} \\ \dot{x} = \frac{p_x}{1+y^2} \\ \dot{y} = p_y \\ \dot{p}_x = \frac{y p_y}{1+y^2} \\ \dot{p}_y = 0 \end{cases}$$

## \* Operações com campos - colchete de Lie

Def: Sejam  $X, Y \in \mathfrak{X}(M)$  campos vetoriais. O colchete de Lie entre  $X$  e  $Y$  é

$$[\cdot, \cdot]: \mathfrak{X}(M) \times \mathfrak{X}(M) \longrightarrow \mathfrak{X}(M) \text{ def por}$$

$$[X, Y](f) = X(Y(f)) - Y(X(f)) \quad \forall f \in C^\infty(M)$$

Exemplo:  $M = \mathbb{R}^3$  com coordenadas  $(x, y, z)$ , e campos

$$X = z \frac{\partial}{\partial y} - y \frac{\partial}{\partial z}, \quad Y = x \frac{\partial}{\partial z} - z \frac{\partial}{\partial x} \quad \text{e} \quad Z = y \frac{\partial}{\partial x} - x \frac{\partial}{\partial y}$$

$$[X, Y] = \left( z \frac{\partial}{\partial y} - y \frac{\partial}{\partial z} \right) \left( x \frac{\partial}{\partial z} - z \frac{\partial}{\partial x} \right) - \left( x \frac{\partial}{\partial z} - z \frac{\partial}{\partial x} \right) \left( z \frac{\partial}{\partial y} - y \frac{\partial}{\partial z} \right)$$

$$= y \frac{\partial}{\partial x} - x \frac{\partial}{\partial y} = Z$$

$$\text{Exercício: } [Y, Z] = X \quad [Z, X] = Y$$

Propriedades: Antissimetria, bilinearidade, Identidade de Jacobi e Regra de Leibniz.

## \* Distribuições

Uma distribuição  $k$ -dim  $D$  em  $M$  é uma aplicação  $M \longrightarrow T_p M$   
 $p \longmapsto D_p$  que a cada ponto  $p \in M$ , associa um subespaço  $D_p \subset T_p M$  de dim  $k$ .

Nem sempre é verdade que exista uma folhação  $\mathcal{F}$  tal que  $D = T\mathcal{F}$ .  
 Uma condição necessária para que isto aconteça é que para todo campo vetorial  $X, Y \in \mathfrak{X}(D)$ , temos que  $[X, Y] \in \mathfrak{X}(D)$ . Quando isto acontece, dizemos que  $D$  é involutiva.

Def: Dizemos que  $D$  é integrável se existir uma folhação  $\mathcal{F}$  de  $M$  tal que  $T\mathcal{F} = D$ .

Teorema (Frobenius): Uma distribuição  $D$  suave, de posto constante é integrável se e somente se é involutiva.

Folhação: É a decomposição de  $M$  em conjuntos conexos por caminhos disjuntos

Exemplo:  $\mathbb{R}^2$  é folheado por retas  $y = ax$

## AULA 3

### 5) Formas diferenciais

Se  $T: V \rightarrow W$  entre dois espaços vetoriais de dimensões finitas, recordamos que sua transposta  $T^*: W^* \rightarrow V^*$  é a transformação linear entre os espaços vetoriais duais definida por  $T^*(\alpha)(v) = \alpha(Tv)$ .

Da mesma forma, existe uma aplicação induzida  $T^*: \Lambda^k W^* \rightarrow \Lambda^k V^*$  definida por  $T^*(\omega)(v_1, \dots, v_k) = \omega(Tv_1, \dots, Tv_k)$ .

Seja  $M$  uma variedade diferenciável. Se  $p \in M$  e  $(x_1, \dots, x_n)$  coord. locais em  $p$ , então os vetores tangentes  $\left. \frac{\partial}{\partial x_i} \right|_p$   $(i=1, \dots, n)$  formam uma base de  $T_p M$ .

Da mesma forma, as formas  $dx_i$   $(i=1, \dots, n)$  formam uma base de  $T_p^* M$ .

Estas bases não são únicas. Podemos tomar o produto  $\Lambda^k T_p^* M$  (álgebra exterior) com base  $dx_{i_1} \wedge \dots \wedge dx_{i_k}$   $(i_1 < \dots < i_k)$ .

Fibrado cotangente:  $T^*M \rightarrow M$  é variedade de dim  $2n$

Se  $(U, x_1, \dots, x_n)$  são coordenadas locais, então uma forma diferencial  $\omega$  de grau  $k$  pode ser escrita na forma:

$$\omega|_U = \sum_{i_1 < \dots < i_k} \overset{\text{coef.}}{a_{i_1, \dots, i_k}} dx_{i_1} \wedge \dots \wedge dx_{i_k}$$

Notação:  $\Omega^k(M)$ .

Se fixarmos uma forma diferencial  $\omega \in \Omega^k(M)$ , o elemento  $\omega_p \in \Lambda^k T_p^* M$  pode ser visto como uma aplicação multilinear alternada

$$\omega_p: T_p M \times \dots \times T_p M \rightarrow \mathbb{R}$$

Assim, se  $X_1, \dots, X_k \in \mathfrak{X}(M)$  são campos vetoriais em  $M$ , obtemos uma função  $\omega(X_1, \dots, X_k) \in C^\infty(M)$  dada por  $p \mapsto \omega_p(X_1|_p, \dots, X_k|_p)$

### \* Operações com formas diferenciais

⊕ Produto exterior:  $\wedge: \Omega^k(M) \times \Omega^s(M) \rightarrow \Omega^{k+s}(M)$

$$(\omega, \eta) \longmapsto (\omega \wedge \eta)_p = \omega_p \wedge \eta_p$$

② Pullback: Seja  $F: M \rightarrow N$  uma aplicação diferencial entre duas variedades. ⑥

Podemos associar  $d_p F: T_p M \rightarrow T_{F(p)} N$  e  $(d_p F)^*: \wedge^k T_{F(p)}^* N \rightarrow \wedge^k T_p^* M$   
 Definimos o pullback de formas diferenciais por  $F^*: \Omega^k(N) \rightarrow \Omega^k(M)$   
 por  $(F^* \omega)(X_1, \dots, X_k)_p = (d_p F)^* \omega(X_1|_p, \dots, X_k|_p) = \omega(d_p F(X_1)|_p, \dots, d_p F(X_k)|_p)$   
 Como esta fórmula define uma aplicação  $\mathcal{X}(M) \times \dots \times \mathcal{X}(M) \rightarrow C^\infty(M)$  que  
 é  $C^\infty(M)$ -multilinear e alternada,  $F^* \omega$  é uma forma diferencial de grau  
 $k$  em  $M$ .

Exemplo:  $F: \mathbb{R}^2 \rightarrow \mathbb{R}^4$  dada por  $F(u, v) = (u+v, u-v, v^2, \frac{1}{1+u^2})$   $\mathbb{R}^2$  com  $(u, v)$   
 $\mathbb{R}^4$  com  $(x, y, z, w)$   
 $\eta = xdy \wedge dz - e^z dz \wedge dw \in \Omega^2(\mathbb{R}^4)$

o pullback é dado por:

$$\begin{aligned} F^* \eta &= (x \circ F) d(y \circ F) \wedge d(z \circ F) - e^{(z \circ F)} d(z \circ F) \wedge d(w \circ F) \\ &= (u+v) d(u-v) \wedge d(v^2) - e^{v^2} d(v^2) \wedge d\left(\frac{1}{1+u^2}\right) \\ &= (u+v) du \wedge 2v dv - 2v e^{v^2} dv \wedge -\frac{2u}{(1+u^2)^2} du \\ &= \left(2v(u+v) - \frac{2u v e^{v^2}}{(1+u^2)^2}\right) du \wedge dv \end{aligned}$$

③ Produto interior: Dada  $X \in \mathcal{X}(M)$  e uma forma diferencial  $\omega \in \Omega^k(M)$ , cha-  
 ma-se produto interior de  $\omega$  por  $X$  a forma diferencial  $i_X \omega \in \Omega^{k-1}(M)$ .

$$i_X \omega(X_1, \dots, X_{k-1}) = \omega(X, X_1, \dots, X_{k-1})$$

④ derivada exterior: Seja  $\omega \in \Omega^k(M)$  uma forma diferencial de grau  $k$

seu diferencial é dado por

$$d\omega(X_0, \dots, X_k) = \sum_{i=0}^k (-1)^i X_i(\omega(X_0, \dots, \hat{X}_i, \dots, X_k)) + \sum_{i < j} (-1)^{i+j} \omega([X_i, X_j], X_1, \dots, X_k) \hat{X}_i, \hat{X}_j$$

Note que  $d: \Omega^k(M) \rightarrow \Omega^{k+1}(M)$

## Aplicação: Teorema de Stokes

Seja  $M$  uma variedade compacta, orientável de dim  $n$  com bordo  $\partial M$ .

Seja  $\alpha \in \Omega^{k-1}(M)$ . Então  $\int_M d\alpha = \int_{\partial M} \alpha$

→ podemos escolher um cubo de posição sem malha  
criar um sistema de eixos alinhado com a  
face de borda e pôr as posições  
 $s^1, s^2, t^2$

→ casos particulares: ① Teorema Fundamental do cálculo:  $\int_a^b f'(x) dx = f(b) - f(a)$

② Teorema de Green: Para uma região  $S \subset \mathbb{R}^2$ ,

$$\iint_S \left( \frac{\partial Q}{\partial x} - \frac{\partial P}{\partial y} \right) dx dy = \int_{\partial S} P dx + Q dy$$

③ Teorema de Stokes clássico: Para uma superfície  $S \subset \mathbb{R}^3$ ,

$$\iint_S \left\{ \left( \frac{\partial R}{\partial y} - \frac{\partial Q}{\partial z} \right) dy dz + \left( \frac{\partial P}{\partial z} - \frac{\partial R}{\partial x} \right) dz dx + \left( \frac{\partial Q}{\partial x} - \frac{\partial P}{\partial y} \right) dx dy \right\}$$

$$= \iint_S n \cdot \nabla F dA = \int_{\partial S} P dx + Q dy + R dz$$

$F: \mathbb{R}^3 \rightarrow \mathbb{R}^3$  campo de classe  $C^1$   
 $n$  = vetor normal unitário  
 $x$  = prod vetorial  $\det \begin{pmatrix} i & j & k \\ \frac{\partial x}{\partial u} & \frac{\partial x}{\partial v} & \frac{\partial x}{\partial w} \\ \frac{\partial y}{\partial u} & \frac{\partial y}{\partial v} & \frac{\partial y}{\partial w} \\ \frac{\partial z}{\partial u} & \frac{\partial z}{\partial v} & \frac{\partial z}{\partial w} \end{pmatrix} = \begin{pmatrix} a_{12}a_{33} - a_{13}a_{32} \\ a_{13}a_{22} - a_{12}a_{23} \\ a_{11}a_{23} - a_{13}a_{21} \end{pmatrix}$

## AULA 4

### ⑥ Variedades simpléticas

Seja  $M$  uma variedade suave  $M$ . Dizemos que uma 2-forma  $\omega \in \Omega^2(M)$  é não-degenerada se  $\omega_x$  é não degenerada em cada ponto  $x \in M$ .

Def: Uma estrutura simplética em  $M$  é uma 2-forma  $\omega \in \Omega^2(M)$  que é não degenerada e tal que  $d\omega = 0$ . Nesse caso, o par  $(M, \omega)$  é uma variedade simplética.

Simplética.

Exemplo: Seja  $U$  um aberto de  $\mathbb{R}^{2n} = \{(q_1, \dots, q_n, p_1, \dots, p_n)\}$  munido com a

$$2\text{-forma } \omega_0 := \sum_{i=1}^n dq_i \wedge dp_i$$

Em cada ponto de  $U$ , a matriz associada é  $\begin{pmatrix} 0 & I \\ -I & 0 \end{pmatrix}$ , logo  $\omega_0$  é não degenerada. Obviamente  $\omega_0$  é fechada e daí,  $\omega_0$  é simplética.

Note que  $\omega_0 = -d\alpha$ , onde  $\alpha = \sum_i p_i dq_i$

Obs Em geral, uma variedade simplética não localmente é dada, não somente na vizinhança de um ponto, mas também de certas subvariedades

(Teorema de Darboux)

Exemplos ① (Espaces vectoriels symplectiques) Soja  $(Z, \Omega_0)$ , onde  $\Omega_0(u, v) = -u^t J v$ ,  
 Temos que  $(Z, \Omega_0)$  é uma var simplética

② O cilindro  $S^1 \times \mathbb{R}$  com coordenadas  $(\theta, p)$  é uma variedade simplética com  $\Omega = d\theta \wedge dp$

③ O toro  $\mathbb{R}^2$  com coordenadas  $(\theta, p)$  é uma var simplética,  $\Omega = d\theta \wedge dp$

④ A esfera  $S^2$  de raio  $r$  é simplética com  $\Omega = r^2 \sin \theta d\theta \wedge d\phi$  (elemento de área).

### \* Forma simplética no fibrado cotangente

Todos fibrados cotangentes possui uma estrutura simplética canônica, e portanto, qualquer variedade está naturalmente associada a uma forma simplética. Tal estrutura simplética é a generalização da forma simplética canônica em  $\mathbb{R}^{2n}$  e aparece naturalmente no estudo de sistemas mecânicos clássicos.

→ espaço de conf

→ espaço de momentos

Sejam  $Q$  uma variedade e  $T^*Q$  seu fibrado cotangente. Denotamos por  $\pi: M \rightarrow Q$  a projeção natural e consideramos a aplicação tangente

$d\pi: TM \rightarrow TQ$ . Definimos a 1-forma canônica  $\alpha \in \Omega^1(M)$  por

$$\alpha_p(X_p) := \langle p, d_p \pi(X_p) \rangle \quad p \in M, X_p \in T_p M \quad (*)$$

Como  $p \in T_{\pi(p)}^* Q$  e  $d_p \pi(X_p) \in T_{\pi(p)} Q$ , o lado direito da equação acima denota a contração usual entre um espaço vetorial e seu dual.

A forma canônica de  $T^*Q$  é definida como  $\boxed{\omega := -d\alpha}$

Usando coordenadas locais  $(x_1, \dots, x_n)$  em  $Q$  e  $(x_1, \dots, x_n, \xi_1, \dots, \xi_n)$  coord em  $M$ ,

Temos 
$$\alpha_p = \sum_{j=1}^n \xi_j dx_j \quad \text{e} \quad \omega = \sum_{j=1}^n dx_j \wedge d\xi_j$$

Note que, se  $(x_1, \dots, x_n) \in Q$  e  $(x_1, \dots, x_n, \xi_1, \dots, \xi_n)$  coord cotangentes em  $T^*Q$ . Temos

$$d\pi \left( \frac{\partial}{\partial x_i} \Big|_p \right) = \frac{\partial}{\partial x_i} \Big|_{\pi(p)} \quad \text{e} \quad d\pi \left( \frac{\partial}{\partial \xi_j} \Big|_p \right) = 0 \quad \text{onde } p = (x, \xi) \in T^*Q. \text{ Logo via } (*): \quad \alpha_p \left( \frac{\partial}{\partial x_j} \Big|_p \right) = \xi_j \quad \alpha_p \left( \frac{\partial}{\partial \xi_j} \Big|_p \right) = 0$$

Seja  $B$  uma 2-forma fechada em  $Q$  e considere em  $T^*Q$  a 2-forma  $\boxed{\omega_B := \omega + \pi^* B}$ .  
 Se  $\omega_B$  é não-deg. essas formas são chamadas formas simpléticas. Relacione a  $\omega_B$  com  $\omega$ .

→ Sistemas hamiltonianos (da dinâmica newtoniana para hamiltoniana)

Como introduzimos as variedades simpléticas, podemos estudar a dinâmica hamiltoniana neste contexto.

Def: Seja  $(M, \Omega)$  uma variedade simplética. Um campo vetorial  $X$  em  $P$  é dito hamiltoniano se existe uma função  $H: P \rightarrow \mathbb{R}$  tal que  $i_X \Omega = dH$

isto é, para todo  $v \in T_p M$ , temos a identidade  $\Omega_p(X(p), v) = dH(p)(v)$

As equações de Hamilton são dadas pelas equações  $\dot{z} = X_H(z)$

Se a dimensão finita, as equações hamiltonianas em coord. cano

$$\frac{\partial q_i}{\partial t} = \frac{\partial H}{\partial p_i}, \quad \frac{\partial p_i}{\partial t} = -\frac{\partial H}{\partial q_i}$$

Se  $X_H$  é um campo vetorial com fluxo  $\varphi_t$ , então pela regra da cadeia,

$$\frac{d}{dt} (H(\varphi_t(z))) = dH(\varphi_t(z)) \cdot X_H(\varphi_t(z)) = \Omega(X_H(\varphi_t(z)), X_H(\varphi_t(z))) = 0$$

como  $\Omega$  é antissimétrica. Então  $H \circ \varphi_t$  é constante em  $t$ .

Isto significa o seguinte:

Proposição: (Conservação de energia). Se  $\varphi_t$  é o fluxo de  $X_H$  numa variedade simplética  $M$ , então  $H \circ \varphi_t = H$  (quando bem definida).

Exemplo (Função altura na esfera). Considere na esfera  $S^2$  a função altura

$H(\theta, \varphi) = h$  e a forma simplética dada pela forma de área  $d\theta \wedge d\varphi$

Temos que  $X_H = \frac{\partial}{\partial \theta}$  pois  $i_{X_H} d\theta \wedge d\varphi = d\varphi = dH$ .



Fluxo hamiltoniano da função altura



## ⑦ Variedades de Poisson

A partir de uma estrutura simplética  $\omega \in \Omega^2(M)$ , podemos definir uma  
 mapa  $\omega^b: TM \rightarrow T^*M$   <sup>$X_f = (\omega^b)^* df$</sup>  que é um isomorfismo, logo sua inversa é o seguinte  
 mapa, bilinear e antissimétrico  $\{ \cdot, \cdot \}: C^\infty(M) \times C^\infty(M) \rightarrow C^\infty(M)$ , onde  $\{f, g\} = \omega(X_f, X_g)$ .  
 Este cálculo mede a taxa de variação de uma função ao longo do fluxo  
 hamiltoniano de uma função  $f$ . Ele é conhecido como cálculo de Poisson.

$$d\omega = 0 \Leftrightarrow \text{Jacobi para } \{ \cdot, \cdot \}$$

$$d\omega(X_f, X_g, X_h) = \{f, \{g, h\}\} + \{h, \{f, g\}\} + \{g, \{h, f\}\}$$

Mais ainda,  $\{ \cdot, \cdot \}$  satisfaz a regra de Leibniz:  $\{f, gh\} = \{f, g\}h + \{f, h\}g$

Da regra de Leibniz podemos definir um bivector  $\pi \in \Gamma(\Lambda^2 TM)$  unicamente  
 determinado por  $\pi(df, dg) = \{f, g\} = \omega(X_g, X_f)$

$$\text{que em coordenadas é } \pi = \sum \frac{1}{2} \pi^{ij} \frac{\partial}{\partial x_i} \wedge \frac{\partial}{\partial x_j}$$

O bivector  $\pi$  também define um mapa  $\pi^\#: T^*M \rightarrow TM$ ,  $\alpha \mapsto i_\alpha \pi$   
 de modo que podemos escrever  $X_f = \pi^\#(df)$ . Deu', concluímos que  $df = \omega^b(X_f)$   
 $= \omega^b(\pi^\#(df))$  logo,  $\omega^b = (\pi^\#)^{-1}$  e  $(\omega_{ij}) = (\pi^{ij})^{-1}$ .

Assim, vemos que podemos considerar um bivector  $\pi \in \Gamma(\Lambda^2 TM)$  no lugar das  
 2-formas para definir uma estrutura simplética.  
 $\pi$  é não degenerado se o mapa  $\pi^\#$  é um isomorfismo (equivalentemente,  $(\pi^{ij})$  é  
 invertível). Além disto,  $\pi$  é um bivector de Poisson se o cálculo  $\{f, g\} = \pi(df, dg)$   
 satisfaz a identidade de Jacobi.

A relação  $\pi(df, dg) = \omega(X_f, X_g)$  estabelece uma relação 1:1 entre bivectores  
 de Poisson não degenerados e formas simpléticas.

| $\pi \in \Gamma(\Lambda^2 TM)$ não-degener. | $\omega \in \Omega^2(M)$ não-deg. |
|---|-----------------------------------|
| $\text{Jac}_\pi = 0$                        | $d\omega = 0$                     |
| $X_f = \pi^\#(df)$                          | $\hat{X}_f \omega = df$           |
| $\{f, g\} = \pi(df, dg)$                    | $\{f, g\} = \omega(X_g, X_f)$     |

Obs: se retirarmos a  
 condição de ser  
 não degenerado,  
 a var de Poisson  
 continua bem  
 definida

\* Campos vetoriais hamiltonianos

No contexto da geometria de Poisson, um campo hamiltoniano  $X_H \in \mathfrak{X}(M)$  é o campo que satisfaz  $X_H(g) = \{g, H\}$ .

Teorema: Suponha  $H: q \in C^\infty(M)$ . Então  $g$  é constante ao longo das curvas integrais de  $X_H$  se e somente se  $\{g, H\} = 0$ .

A função  $f$  que satisfaz o teorema anterior é chamada integral de movimento (ou integral primeira ou constante de movimento).

Entre elementos de  $C^\infty(M)$  não funções  $C$  tal que  $\{C, f\} = 0$  para todos  $f \in C^\infty(M)$ . Isto é,  $C$  é constante ao longo do fluxo de todos os campos vetoriais hamiltonianos  $X_f$ , ou, equivalentemente,  $X_C = 0$ , isto é,  $C$  gera a dinâmica trivial. Tais funções são chamadas de funções Casimir.

Exemplo: Se considerarmos o grupo das rotações  $SO(3) \simeq \mathbb{R}^3$ , identificando  $\mathbb{R}^3$  e  $(\mathbb{R}^3)^*$  via o produto interno usual, no lemos a estrutura de Poisson em  $\mathbb{R}^3$   $\{f, g\}(v) = -v \cdot (\nabla f \times \nabla g)$ , onde  $v \in \mathbb{R}^3$  e  $\nabla f$  é o gradiente de  $f$  calculado em  $v$ . Este colchete é conhecido como o colchete corpo-rígido. Neste contexto, seja  $C(v) = \frac{\|v\|^2}{2}$ . Então  $\nabla C(v) = v$  e pelas propriedades do produto entre vetores:

$$\{C, f\}(v) = -v \cdot (\nabla C \times \nabla f) = -v \cdot (v \times \nabla f) = -\nabla f \cdot (v \times v) = 0$$

Isto mostra que  $C(v) = \frac{\|v\|^2}{2}$  é uma função Casimir.

② Num variedade simplética  $(M, \omega)$ , toda função casimir é constante nas componentes conexas de  $M$ . Isto acontece pois no caso simplético  $X_C = 0$  implica  $dc = 0$  (pois  $\omega$  é não degenerada), daí  $C$  é localmente constante.

## ⑧ Sistemas integráveis

Def: Um sistema hamiltoniano é uma tripla  $(M, \omega, H)$ , onde  $(M, \omega)$  é uma variedade simplética e  $H \in C^\infty(M)$  é uma função hamiltoniana

Dizemos que o sistema é completamente integrável se existem  $m (= \frac{1}{2} \dim M)$

funções  $f_1 = H, f_2, \dots, f_m$  onde

- I) (Independência) Seus diferenciais são linearmente independentes num conjunto denso (ou aberto de  $M$ ):  $df_1 \wedge \dots \wedge df_m \neq 0$
- II) (Involução) Elas comutam par a par, pelo colchete de Poisson:  $\{f_i, f_j\} = 0 \quad \forall i, j$

Obs: Podemos dar uma definição alternativa para sistemas integráveis apenas usando estruturas de Poisson.

Exemplos: (n osciladores harmônicos) Variedade de fase  $M = T^*\mathbb{R}^n \simeq \mathbb{R}^{2n}$   
com forma simplética:  $\omega = \sum_{i=1}^n dq_i \wedge dp_i$  e funções hamiltonianas:  $H(q, p) = \frac{1}{2} \sum_{i=1}^n (\dot{p}_i^2 + \lambda_i^2 \dot{q}_i^2)$   
 $\lambda_i > 0$

6 os integrais em involução (as n coordenadas) são  $F_i(q, p) = \frac{1}{2} (p_i^2 + \lambda_i^2 q_i^2) \quad (i=1, \dots, n)$

$$\lambda_i = \sqrt{k_i/m} > 0$$

## ⑨ Exemplos

+ uma partícula sob um campo magnético

seja  $\Omega \in \Omega^2(\mathbb{R}^3)$  fechada e seja  $B = X_1 \frac{\partial}{\partial x} + X_2 \frac{\partial}{\partial y} + X_3 \frac{\partial}{\partial z} \in \mathfrak{X}(\mathbb{R}^3)$  o campo

vetorial em  $\mathbb{R}^3$  que satisfaz

$$i_B(dxdydz) = \Omega$$

isto nos permite escrever  $\Omega$  do seguinte modo

$$\Omega = X_1 dydz + X_2 dzdx + X_3 dx dy$$

Considerando  $B$  como o campo magnético, as equações de movimento para uma partícula com carga  $e$  e massa  $m$  são dados pela eq. (Lei de força Lorentz)

$$m \cdot \frac{dv}{dt} = \frac{e}{c} v \times B \quad (1)$$

onde  $r = (x, y, z)$ . Em  $\mathbb{R}^3 \times \mathbb{R}^3$  com coord  $(x, v)$ , consideramos a forma simplética:

$$\omega_B = m(dx \wedge \dot{x} + dy \wedge \dot{y} + dz \wedge \dot{z}) - \frac{e}{c} B \quad (\text{Note que } \omega_B = \omega_{\text{can}} + \pi^* B)$$

Consideramos a função Hamiltoniana  $H: \mathbb{R}^3 \times \mathbb{R}^3 \rightarrow \mathbb{R}$  dada pela energia cinética

$$H = \frac{m}{2} (\dot{x}^2 + \dot{y}^2 + \dot{z}^2) \quad \text{Note que:}$$

$$dH = m(\dot{x}dx + \dot{y}dy + \dot{z}dz)$$

$$\text{Escrevendo } X_H = (A_1, A_2, A_3, \dot{A}_1, \dot{A}_2, \dot{A}_3)$$

$$(X_H \in \mathcal{X}(\mathbb{R}^3 \times \mathbb{R}^3), \text{ base } \left\{ \frac{\partial}{\partial x}, \frac{\partial}{\partial y}, \frac{\partial}{\partial z}, \frac{\partial}{\partial \dot{x}}, \frac{\partial}{\partial \dot{y}}, \frac{\partial}{\partial \dot{z}} \right\})$$

$$\text{Então: } i_{X_H} \omega_B = \omega_B(X_H, \cdot) =$$

$$= m(\dot{A}_1 dx - A_1 d\dot{x} + \dot{A}_2 dy - A_2 d\dot{y} + \dot{A}_3 dz - A_3 d\dot{z}) - \frac{e}{c}(B_1 A_3 dy - B_1 A_2 dz - B_2 A_3 dx + B_2 A_1 dz + B_3 A_2 dx - B_3 A_1 dy)$$

$$= -m(A_1 d\dot{x} + A_2 d\dot{y} + A_3 d\dot{z})$$

$$+ (m\dot{A}_1 + \frac{e}{c}(B_2 A_3 - B_3 A_2))dx + (m\dot{A}_2 - \frac{e}{c}(B_1 A_3 - B_3 A_1))dy$$

$$+ (m\dot{A}_3 + \frac{e}{c}(B_1 A_2 - B_2 A_1))dz$$

Então,  $i_{X_H} \omega_B = X_H$  é equivalente a

$$\dot{x} = -A_1 \quad \dot{y} = -A_2 \quad \dot{z} = -A_3$$

$$m\dot{A}_1 = -\frac{e}{c}(B_2 A_3 - B_3 A_2) \Rightarrow m\dot{x} = \frac{e}{c}(B_2 \dot{z} - B_3 \dot{y})$$

$$m\dot{A}_2 = \frac{e}{c}(B_1 A_3 - B_3 A_1) \Rightarrow m\dot{y} = \frac{e}{c}(B_3 \dot{x} - B_1 \dot{z})$$

$$m\dot{A}_3 = -\frac{e}{c}(B_1 A_2 - B_2 A_1) \Rightarrow m\dot{z} = \frac{e}{c}(B_1 \dot{y} - B_2 \dot{x})$$

Note que estas equações são equivalentes a (1)

Então, as equações de movimento para uma partícula num campo magnético são hamiltonianas, com energia igual a energia cinética e com forma simplética  $\omega_B$ .

## ② A partícula não-holônoma

(10)

Vamos considerar o movimento de uma partícula livre no espaço com massa unitária, sujeito à restrição  $\dot{z} = y\dot{x}$

O espaço de configuração deste espaço é  $Q = \mathbb{R}^3$  com coord  $(x, y, z)$ .

Um sistema não-holônomo é um sistema mecânico com vínculos nas velocidades. Neste caso, o sistema está descrito por uma var de configuração  $Q$ , um lagrangiana  $L: TQ \rightarrow \mathbb{R}$ , uma distribuição não-integrável  $D \subset TQ$  que descreve as restrições cinemáticas não-holônomas. As equações de movimento tem a forma

$$\frac{d}{dt} \left( \frac{\partial L}{\partial \dot{q}} \right) - \frac{\partial L}{\partial q} = \mu^T E(q), \text{ onde } \mu: TQ \rightarrow \mathbb{R}^k \text{ as int são mult de lagrangiana}$$

No formalismo hamiltoniano, as equações de hamilton

$$\dot{q} = \frac{\partial H}{\partial p}, \quad \dot{p} = -\frac{\partial H}{\partial q} + \mu^T E(q)$$

na dist.  $D$  forma  $L(q)(D) = M$ , subvariedade de  $T^*Q$  chamada subvar de vínculos

Neste caso, vamos adotar a base  $\{X_1, \frac{\partial}{\partial y}, \frac{\partial}{\partial z}\}$  para  $TQ$ , onde  $X_1 = \frac{\partial}{\partial x} + y \frac{\partial}{\partial z}$  e em  $T^*Q$ , a base dual é  $\{dx, dy, \varepsilon\}$ . Vamos denotar por  $(x, y, z, p_x, p_y, p_z)$  as coordenadas em  $T^*Q$  associada à esta base dual. Note que estas coordenadas não são canônicas. Chamaríamos de coordenadas adaptadas aos vínculos.

Além disto, vamos adotar o formalismo hamiltoniano. Logo:

$$M = \{ (x, y, z, p_x, p_y, p_z) \mid p_z = \frac{y}{1+y^2} p_x \} \subset T^*Q$$

Temos associado à  $M$ , uma distribuição  $C = \text{span} \{ X_1, \frac{\partial}{\partial y}, \frac{\partial}{\partial p_x} \}$ .

A 1-forma canônica em  $T^*Q$  é dada por  $\alpha = p_x dx + p_y dy + p_z \varepsilon$ . Quando restringimos à  $M$ , temos:

$$\alpha_M = p_x dx + p_y dy + \frac{y}{1+y^2} p_x \varepsilon$$

Dai, a 2-forma  $\omega_M$  em  $M$  é dada por:

$$\omega_M = -d\alpha_M = dx \wedge p_x + dy \wedge p_y - \frac{y}{1+y^2} dp_x \wedge \varepsilon$$

Quando restringimos  $\omega_M$  à  $C$ , obtemos  $\omega_C = dx \wedge dp_x + dy \wedge dp_y - \frac{y p_x}{1+y^2} dx \wedge dy$

Obs:  $\omega_C$  é fechada e não degenerada em  $M$ . (mas não é uma 2-forma, é uma seção)

Seja  $H: M \rightarrow \mathbb{R}$  dada por  $H_M = \frac{1}{2} \left( \frac{p_x^2}{1+y^2} + p_y^2 \right)$ .  $H$  é a função hamiltoniana

A tupla  $(M, \omega_c, H_M)$  é chamada sistema não holônomo.

(No caso  $T^*M$ , o campo vet não holônomo é obtido de maneira intrínseca como)  
 $i_{X_{nh}}^* \omega_c = i^*(dH + H^T \Pi^* \epsilon)$   $i: M \hookrightarrow T^*Q$

Logo, conseguimos encontrar

$$i_{X_{nh}}^* \omega_c = dH|_c \Rightarrow X_{nh} = \dot{x} X_1 + \dot{y} \frac{\partial}{\partial y} + \dot{p}_x \frac{\partial}{\partial p_x} + \dot{p}_y \frac{\partial}{\partial p_y}$$

$$\text{onde } \dot{x} = \frac{p_x}{1+y^2} \quad \dot{y} = p_y \quad \dot{p}_x = \frac{y p_x p_y}{1+y^2} \quad \dot{p}_y = 0$$

As equações acima são ditas equações de hamilton não holônomo.

A dinâmica em  $M$  está descrita pelas curvas integrais de  $X_{nh}$

Como  $S^1_c$  é não degenerada, existe um bivector  $\Pi_{nh}$  em  $M$ . Então:

$$\Pi_{nh} = X_1 \wedge \frac{\partial}{\partial p_x} + \frac{\partial}{\partial y} \wedge \frac{\partial}{\partial p_y} + \frac{y p_x}{1+y^2} \frac{\partial}{\partial p_x} \wedge \frac{\partial}{\partial p_y}$$

A distribuição característica de  $\Pi_{nh}$  é  $C$  ( $\Pi_{nh}^\#(M) = C$ ). Como  $C$  não é integrável, então  $\Pi_{nh}$  não satisfaz Jacobi.

Mas, podemos transformar este sistema num hamiltoniano do seguinte modo: O grupo  $G = \mathbb{R}^2$  age em  $Q$  por translação

$$G \times Q \rightarrow Q \\ (a, b) \cdot (x, y, z) \mapsto (x+a, y, z+b)$$

Esta ação, quando levantada a  $T^*Q$  deixa  $M$  e o hamiltoniano invariante.  
 $\rightarrow \Pi_{nh}$  invariante pela ação também.

$(M/G, \Pi_{red}, H_{red})$  é um sistema hamiltoniano

$M/G$  tem de dim 3 e coord  $(y, p_x, p_y)$ . O mapa quociente  $p: M \rightarrow M/G$  é dado por  $p(x, y, z, p_x, p_y) = (y, p_x, p_y)$ . Os campos vetoriais em  $\mathfrak{X}(M/G)$  tem

base  $\left\{ \frac{\partial}{\partial y}, \frac{\partial}{\partial p_x}, \frac{\partial}{\partial p_y} \right\}$  e as 1-formas  $S^1(M/G)$  tem base  $\{ dy, dp_x, dp_y \}$ .

$$\text{Daí, } \Pi_{red} = \frac{\partial}{\partial y} \wedge \frac{\partial}{\partial p_y} + \frac{y p_x}{1+y^2} \frac{\partial}{\partial p_x} \wedge \frac{\partial}{\partial p_y}$$

O hamiltoniano  $H_{red}: M/G \rightarrow \mathbb{R}$  é  $H_{red} = \frac{1}{2} \left( \frac{P_x^2}{1+y^2} + P_y^2 \right)$

o campo hamiltoniano é  $X_{red} = P_y \frac{\partial}{\partial y} + \frac{1}{1+y^2} P_x \frac{\partial}{\partial P_x}$

Podemos verificar que o campo  $\pi_{red}$  satisfaz Jacobi, logo  $\pi_{red}$  é Poisson e portanto o sistema é hamiltonizável após uma redução.

Outros exemplos: Esfera Chaplygin - movimento de uma esfera cujo centro de massa coincide com seu centro geométrico, rolando sem deslizar sobre o plano.

- espaço de configuração  $SO(3), \mathbb{R}^2$

### - Teorema de Noether

ação por simetrias: Um grupo de Lie age por simetrias em  $M$  via uma ação suave.  $\Phi: G \times M \rightarrow M$  tal que cada  $\Phi_g$  é um simplet.

$$(g, x) \mapsto \Phi_g(x) \quad \Phi_g^* \omega = \omega \quad \forall g \in G$$

a esta ação associamos um mapa momento

Então o teorema de Noether me diz que: se temos um sistema hamiltoniano

$(M, \omega, H)$ . Suponha que  $G$  é um grupo que age por simetrias e que o hamiltoniano é invariante, então podemos construir uma constante de movim.

ao longo do fluxo de  $H$ :  $J: M \rightarrow \mathfrak{g}^*$  tal que  $\{J^\xi, H\} = 0$   $J^\xi = \langle J, \xi \rangle \quad \xi \in \mathfrak{g}$

simetria hamiltoniana  $\rightarrow$  quantidade conservada.

### - Quantização geométrica

mecânica clássica  $\rightarrow$  mec quântica  
 $M$  - espaço de fase  $\rightarrow V$  - espaço de hilbert

$\frac{1}{i\hbar} \{ \cdot, \cdot \} = e^{i\hbar \cdot} ( \cdot )$  forma, observ  $\rightarrow \mathcal{O}_P(V)$  - operadores (lineares) n.c.a.  
 c.a.

Poisson structure  $\rightarrow$  álgebra  $*_{\hbar}$

Bibliografia adicional:

- ① Lições de geometria Diferencial. Rui Loja Fernandes
- ② Manifolds 2024-2025 (Notas de aula). Marius Crainic
- ③ A Brief introduction to Dirac Manifolds. Henrique Bursztyn  
(paper)